

ВЗАИМОДЕЙСТВИЕ ЛАЗЕРНОГО ИЗЛУЧЕНИЯ С ВЕЩЕСТВОМ

doi: 10.51639/2713-0568_2022_2_1_47

УДК 535.21, 535.23

ГРНТИ 29.31.27, 29.33.47

OCIS 140.3440, 140.3390, 160.3380

Статистическое моделирование лазерной абляционной деструкции

Чербачи Ю. В., * Мкртычев О. В.

353919, Россия, Новороссийск, Мысхакское шоссе 75,
 филиал Белгородского государственного технологического университета
 им. В. Г. Шухова в г. Новороссийске

e-mail: cherbachi-yu-v@nb-bstu.ru, * mkrtychev-o-v@nb-bstu.ru

Важной характеристикой оптических материалов является прочность материала под воздействием излучения на поверхность такого материала. Рассматривают три вида лучевой прочности оптических материалов: термоупругое растрескивание, разрушение вследствие разогрева инородных включений и пробой в поле световой волны (явление самофокусировки). В данной статье, с использованием модели Вейбулла–Гнеденко и некоторых параметров излучения, например, зная площадь воздействия луча лазера при лазерном разрушении, можно определить концентрацию дефектов и вычислить вероятность разрушения, определив таким образом оптическую прочность образцов при однократном облучении.

Ключевые слова: модель Вейбулла–Гнеденко, надёжность образца, оптическая прочность.

Введение

Прочность – свойство материалов противостоять разрушению при воздействии внешних нагрузок – является важным качеством в технических устройствах. При объяснении зависимости прочности материала разрушаемый материал, причины, виды и условия разрушения моделируются разными способами [1, 2]. В частности, статистическая теория прочности материала считает, что прочность поверхности материала меньше прочности внутреннего объёма из-за наличия на поверхности микродефектов [3]. Ввиду статистического распределения микродефектов, и прочность материала является статистической величиной. Для количественного определения прочности используют функцию распределения

$$f(x) = \frac{1}{N} \frac{\Delta N}{\Delta x},$$

где x – среднее значение прочности, N – число измерений при доверительном интервале Δx , ΔN – число образцов с прочностью в диапазоне $(x, x + \Delta x)$. Вид этой функции позволяют делать выводы о природе дефектов и динамике повреждений.

Модель Вейбулла–Гнеденко

Наиболее широко при анализе прочности хрупких материалов, в том числе, и стёкол, используется модель Вейбулла–Гнеденко [4, 5].

Вероятность разрушения при этом даётся выражением:

$$p = 1 - e^{-Y},$$

где Y – риск разрушения, определяемый для объёма V из выражения

$$Y = \begin{cases} \int_V \left(\frac{y - y_{\text{пр}}}{y_{\text{норм}}} \right)^m dV, & y > y_{\text{пр}}, \\ 0, & y < y_{\text{пр}}, \end{cases}$$

где y – нагрузка элемента dV ; $y_{\text{пр}}$ – предел прочности, т.е. минимальная нагрузка, вызывающая разрушение; $y_{\text{норм}}$ – нормировочный параметр размерности (напряжение \times объём $^{1/m}$); m – модуль Вейбулла или параметр формы распределения. Для наиболее распространённого натриево-калиево-силикатного стекла типичные величины модуля Вейбулла находятся в диапазоне от 4 до 15.

В случае наличия двух видов дефектов, определяющих прочность материала, график $\ln\left(\ln\frac{1}{1-p}\right)$ от $\ln y$ будет состоять из отрезков двух прямых, трёх дефектов – из отрезков трёх прямых (и так далее). Выяснение количественных отношений для исследуемых зависимостей представляет интерес, как для выяснения физического механизма разрушения, так и для определения характерных параметров дефектов (например, концентрации), которые могут быть извлечены из сравнения указанных теоретических зависимостей с наблюдаемыми. В простейшем случае, когда вероятность лазерного разрушения определяется дефектами одного рода на поверхности или в объёме образца, для которой вероятность разрушения может быть описана показательной функцией типа

$$p(F) = 1 - e^{-\rho(F)A} = 1 - e^{-kAF^m}, \quad (1)$$

где $\rho(F) = kF^m$ – средняя объёмная концентрация дефектов, и A – объём области, подвергнутой воздействию лазерного излучения с плотностью энергии F . Данные по лазерному разрушению могут быть проанализированы, как и в [6–9], с использованием статистики Вейбулла–Гнеденко.

В случае трёхпараметрического распределения Вейбулла–Гнеденко плотность вероятности (дифференциальная функция распределения) имеет вид

$$f_{\text{wbl}}(x) = \begin{cases} \frac{c}{b} \left(\frac{x-a}{b} \right)^{c-1} e^{-\left(\frac{x-a}{b}\right)^c}, & x \geq a, \\ 0, & x < a, \end{cases}$$

где $f_{\text{wbl}}(x) \geq 0$, $x \geq a$, $c > 0$, $b > 0$, $-\infty < a < \infty$. Величина a называется параметром положения (срок безрисковой работы), b – параметром масштаба (характерный срок) и c – параметром формы (угловой коэффициент). При этом параметры положения a и масштаба b имеют ту же размерность, что и случайная величина x , а параметр формы c – величина безразмерная. После того как оценены параметры распределения Вейбулла–Гнеденко, можно оценить различные характеристики надёжности. В частности, вычислить функцию распределения отказов (обычно обозначаемую как $F(t)$). Соответственная кумулятивная, иначе интегральная, функция распределения Вейбулла–Гнеденко имеет вид:

$$F_{\text{wbl}}(x) = 1 - e^{-\left(\frac{x-a}{b}\right)^c}. \quad (2)$$

Надёжность определяется, как функция вероятности отказа тестируемой единицы в зависимости от времени. Формально функция надёжности (обычно обозначаемая через $R(t)$, иногда $Q(t)$) является дополнением функции распределения до 1 (т.е. $R(t) = 1 - F(t)$);

функция надёжности также иногда называется функцией выживания (равна вероятности дожития экземпляра до момента t). Функция надёжности вычисляется по формуле:

$$R(x) = 1 - F_{wbl}(x) = e^{-\left(\frac{x-a}{b}\right)^c}.$$

Срок надёжности (полагая, что переменная x является временем), считая от момента времени 0, даётся выражением:

$$X_R = a + b[-\ln R]^{\frac{1}{c}} = x.$$

Это время, в течение которого экземпляр будет успешно функционировать с надёжностью $R(x)$.

Математическое ожидание распределения Вейбулла–Гнеденко

$$\bar{X} = a + b \cdot \Gamma\left(\frac{1}{c} + 1\right),$$

где $\Gamma(z) = \int_0^{\infty} e^{-x} x^{z-1} dx$ – гамма-функция.

Медиана этого распределения равна

$$\check{X} = a + b \cdot [\ln 2]^{\frac{1}{c}}.$$

Если в формуле для срока надёжной работы положить $R = 0,5$, то срок надёжности станет равным медиане распределения $X_R = \check{X}$.

Мода трёхпараметрического распределения Вейбулла–Гнеденко

$$\tilde{X} = a + b \cdot \left[1 - \frac{1}{c}\right]^{\frac{1}{c}}.$$

Функция риска (интенсивности отказа) описывает вероятность отказа в течение малого промежутка времени при условии, что до этого момента отказа не произошло. Для распределения Вейбулла–Гнеденко функция риска имеет следующий вид:

$$h(x) = \frac{f_{wbl}(x)}{1 - F_{wbl}(x)} = \frac{f_{wbl}(x)}{R(x)} = \frac{c}{b} \left(\frac{x-a}{b}\right)^{c-1}.$$

Двухпараметрическое распределение Вейбулла–Гнеденко получается из трёхпараметрического при условии равенства нулю параметра положения $a = 0$, то есть:

$$f(x) = \begin{cases} \frac{c}{b} \left(\frac{x}{b}\right)^{c-1} e^{-\left(\frac{x}{b}\right)^c}, & x \geq 0, \\ 0, & x < 0. \end{cases}$$

Для однопараметрического распределения Вейбулла–Гнеденко, кроме условия $a = 0$, добавляется условие постоянства параметра формы $c = C = \text{const}$:

$$f(x) = \begin{cases} \frac{C}{b} \left(\frac{x}{b}\right)^{C-1} e^{-\left(\frac{x}{b}\right)^C}, & x \geq 0, \\ 0, & x < 0. \end{cases}$$

Все величины, характеризующие одно- и двух-параметрические распределения, находятся из выражений, аналогичных соответственным выражениям для величин трёхпараметрического распределения Вейбулла–Гнеденко. Достаточно только положить значение параметра положения равным нулю и значение параметра формы приравнять постоянной величине.

Моделирование лазерной абляции

В случае лазерной абляции, полагая $A = \text{const}$, по экспериментальной зависимости $p(F)$ для фиксированного значения p получаем

$$kA = -\frac{\ln(1-p)}{F^m}.$$

Так как погрешность измерения пороговых параметров для $p = 0,5$ минимальна, то подставляя это значение вероятности, получаем

$$kA = \frac{\ln}{F_{0,5}^m}.$$

Следовательно, выражение (1) можно переписать в виде

$$p(F) = 1 - e^{-\ln 2 \left(\frac{F}{F_{0,5}}\right)^m},$$

или, после логарифмирования,

$$\ln \left(\frac{\ln \frac{1}{1-p}}{\ln 2} \right) = m \ln \left(\frac{F}{F_{0,5}} \right). \quad (3)$$

График зависимости $\ln \left(\frac{\ln \frac{1}{1-p}}{\ln 2} \right)$ от $\ln \left(\frac{F}{F_{0,5}} \right)$ будет графиком прямой пропорциональности с коэффициентом m , равным показателю экспоненты в статистике Вейбулла–Гнеденко. Анализ экспериментальных данных подтверждает, что наклоны прямых многократно повторяются из-за дефектного механизма лазерной абляции и статистика Вейбулла–Гнеденко адекватно описывает процесс лазерной абляции и позволяет оценивать вероятность разрушения полимерного образца при заданной плотности энергии лазерного импульса.

В случае однократно облучённой мишени, при условии, что вероятность лазерной абляции определяется дефектами одного рода на поверхности или в объёме образца, вероятность разрушения может быть описана показательной функцией типа

$$p(F) = \begin{cases} 1 - e^{-\rho(F)A} = 1 - e^{-kAF^m} = 1 - e^{-\ln 2 \left(\frac{F}{F_{0,5}}\right)^m}, & F > 0, \\ 0, & F \leq 0, \end{cases}$$

где $\rho(F) = kF^m$ – средняя поверхностная/объёмная концентрация дефектов, и A – площадь/объём области, подвергнутой воздействию лазерного излучения с плотностью энергии F , $F_{0,5}$ – пробойная энергия, для которой вероятность пробоя равна 0,5. Именно эту величину $F_{0,5}$ мы измеряем в наших экспериментах.

Этой функции соответствует интегральная функция распределения Вейбулла–Гнеденко с параметрами: $a = 0$, $b = \frac{F_{0,5}}{m \sqrt{\ln}}$ и $c = m = \text{const}$, относительно переменной величины $x = F$.

На основании полученных экспериментальных данных были выполнены расчёты по уравнению (3). Результат вычисления для нескольких образцов показателя экспоненты m в статистике Вейбулла–Гнеденко методом наименьших квадратов представлен в таблице.

Таблица. Показатель экспоненты m в статистике Вейбулла–Гнеденко, вычисленный по экспериментальным данным методом наименьших квадратов.

Образец	1	2	3	4	5	6	7	8	9	10
$m_{20 \text{ нс}}$	15,65	4,99	27,67	27,96	16,18	14,43	15,31	15,19	13,25	9,16
$m_{300 \text{ мкс}}$	7,74	7,71	4,59	7,70	4,69	8,85	11,54	10,09	9,16	-

Таблица показывает, что значения показателя экспоненты m в формуле (2) группируются вокруг некоторых опорных значений. При этом большинство значений лежит в наиболее распространённом натриево-калиево-силикатном стекле типичных величин модуля Вейбулла, то есть в диапазоне от 4 до 15. Все эти результаты могут стать основой для различных методов изучения лазерного абляционного разрушения образцов [10–18].

Надёжность, в нашем случае эта функция называется оптической прочностью покрытия детали (часто обозначается $Q(F)$), и определяет функцию вероятности разрушения покрытия в зависимости от величины плотности энергии падающего излучения, имеет вид:

$$R(F) = 1 - p(F) = e^{-\ln 2 \left(\frac{F}{F_{0,5}}\right)^m}. \quad (4)$$

Надёжность в отношении пробоя даётся выражением:

$$X_R = \frac{F_{0,5}}{\frac{m}{\sqrt{\ln 2}}} \left[\ln 2 \left(\frac{F}{F_{0,5}}\right)^m \right]^{\frac{1}{m}} = F.$$

Эта величина показывает, что для значения плотности энергии падающего излучения равного F , надёжность в отношении пробоя имеет значение $R(F)$, вычисляемое по выражению (4).

Функция риска (интенсивности отказа) описывает вероятность пробоя в малом промежутке диапазона изменения плотности энергии падающего излучения при условии, что до этого значения плотности энергии пробоя не произошло. Для нашей функции распределения функция риска имеет следующий вид:

$$h(F) = \frac{m}{\frac{F_{0,5}}{\frac{m}{\sqrt{\ln 2}}}} \left(\frac{F}{\frac{F_{0,5}}{\frac{m}{\sqrt{\ln 2}}}}\right)^{m-1} = \left(\frac{m}{F_{0,5}} \ln 2\right) F^{m-1}.$$

Математическое ожидание распределения Вейбулла–Гнеденко

$$\bar{F} = \frac{F_{0,5}}{\frac{m}{\sqrt{\ln 2}}} \cdot \Gamma\left(\frac{1}{m} + 1\right),$$

где $\Gamma(z)$ – гамма-функция.

Медиана этого распределения равна

$$\check{F} = \frac{F_{0,5}}{\frac{m}{\sqrt{\ln 2}}} \cdot [\ln 2]^{\frac{1}{m}} = F_{0,5}.$$

Мода распределения Вейбулла–Гнеденко

$$\tilde{F} = \frac{F_{0,5}}{\frac{m}{\sqrt{\ln 2}}} \cdot \left[1 - \frac{1}{m}\right]^{\frac{1}{m}}.$$

Для примера рассмотрим образец 1 в микросекундном и наносекундном диапазоне. Экспериментальные данные для этого образца сведены в таблице. По этим данным в микросекундном диапазоне $m = 7,74$ и $F_{\max} = 100,17$ Дж·см⁻² и интегральная функция распределения Вейбулла–Гнеденко будет иметь вид (рис. 1)

$$p(F) = 1 - e^{-0,6931 \left(\frac{F}{100,17}\right)^{7,74}}.$$

Оптическая прочность образца 1 в микросекундном диапазоне:

$$R(F) = e^{-0,6931 \left(\frac{F}{100,17}\right)^{7,74}}.$$

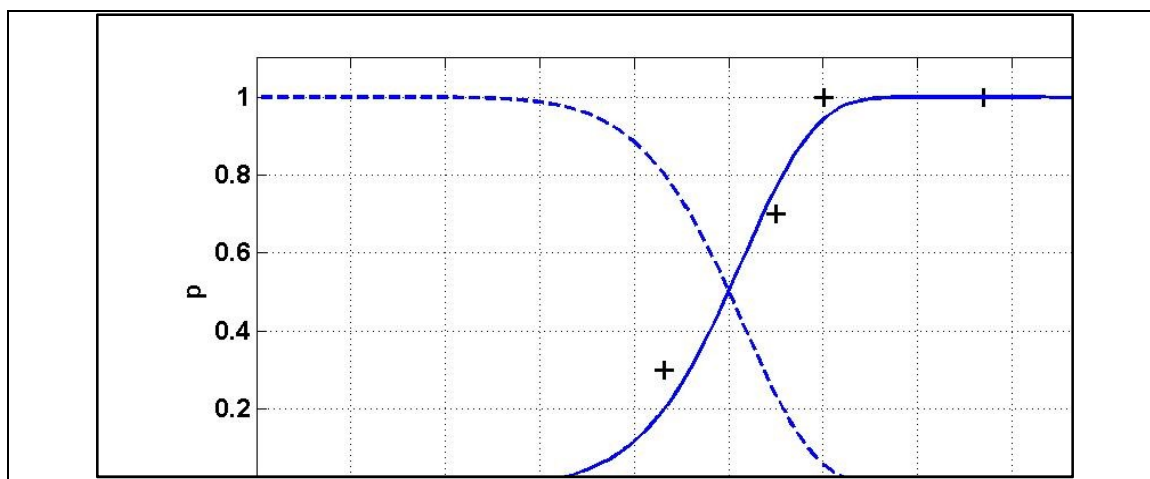


Рис. 1. График интегральной функции распределения $p(F)$ образца 1 в микросекундном диапазоне: точки – экспериментальные данные, сплошная кривая – аппроксимация функцией распределения Вейбулла–Гнеденко, оптическая прочность – штриховая линия

По данным в наносекундном диапазоне $m = 15,65$ и $F_{\max} = 30,21$ Дж·см⁻² и интегральная функция распределения Вейбулла–Гнеденко будет иметь вид (рис. 2):

$$p(F) = 1 - e^{-0,6931\left(\frac{F}{30,21}\right)^{15,65}}$$

Оптическая прочность образца 1 в наносекундном диапазоне:

$$R(F) = e^{-0,6931\left(\frac{F}{30,21}\right)^{15,65}}$$

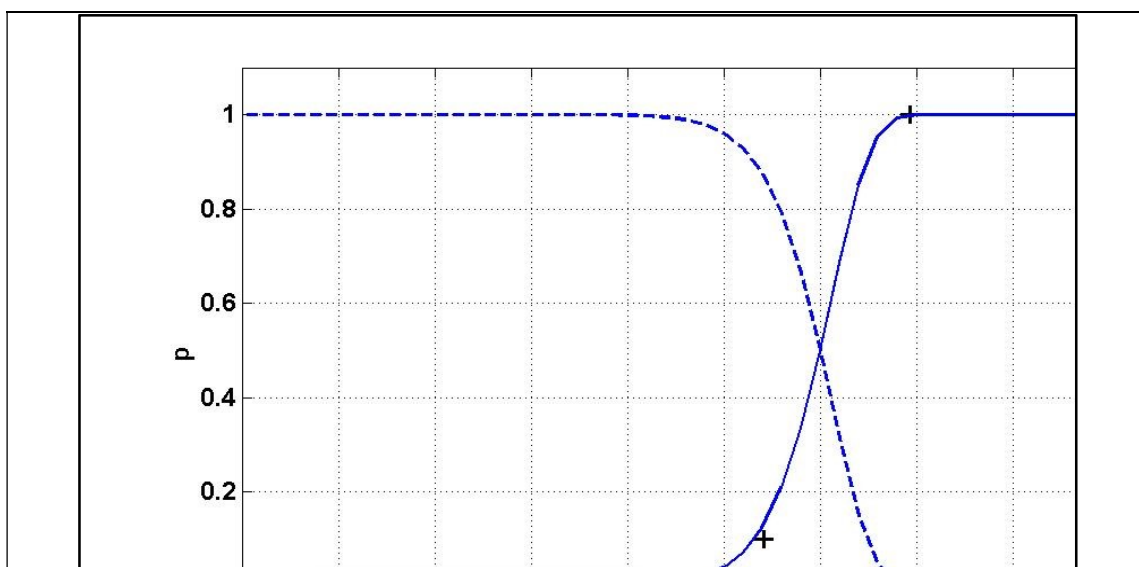


Рис. 2. График интегральной функции распределения $p(F)$ образца 1 в наносекундном диапазоне: точки – экспериментальные данные, сплошная кривая – аппроксимация функцией распределения Вейбулла–Гнеденко, оптическая прочность – штриховая линия

Заключение

Таким образом, применение однопараметрического распределения Вейбулла–Гнеденко позволяет получить значения функции распределения вероятности пробоя при лазерном разрушении нанокompозитов, хорошо совпадающие с экспериментально измеренными вероятности. При этом значения модуля Вейбулла, в основном, имеют типичные величины модуля для натриево-калиево-силикатного стекла в диапазоне от 4 до 15.

Конфликт интересов

Авторы статьи заявляют, что у них нет конфликта интересов по материалам данной статьи с третьими лицами, на момент подачи статьи в редакцию журнала, и им ничего не известно о возможных конфликтах интересов в настоящем со стороны третьих лиц.

Список литературы

1. Александров А. В., Потапов В. Д., Державин Б. П. // Соппротивление материалов. – М.: Москва. Высшая школа. 2003. 561 с.
2. Никоноров Н. В., Евстропьев С. К. // Оптическое материаловедение: основы прочности оптического стекла. – СПб: СПбГУ ИТМО, 2009. – 104 с.
3. [O. V. Mkrtychev](#), [V. G. Shemanin](#), and [Yu. V. Shevtsov](#) «Investigation of laser ablation destruction of polymer materials», Proc. SPIE 11322, XIV International Conference on Pulsed Lasers and Laser Applications, 1132221 (11 December 2019); DOI <https://doi.org/10.1117/12.2555980>.
4. Weibull W. Statistical distribution function of wide applicability // Journal of Applied Mechanics. 1951. V. 18. P.293-297.
5. Madjoubi M. A., Bousbaa C., Hamidouche M., Bouaouadja N. Weibull statistical analysis of the mechanical strength of a glass eroded by sand blasting // Journal of the European Ceramic Society. 1999. V. 19. No. 16. P.2957-2962.
6. Воронина Э. И., Ефремов В. П., Привалов В. Е., Чартий П. В., Шеманин В. Г. Оптическая прочность полимерных материалов при их лазерной абляционной деструкции // ЖТФ. 2009. Т. 79. Вып. 5. С. 143.
7. Воронина Э. И., Чартий П. В., Шеманин В. Г. // Физика экстремальных состояний вещества-2003. под ред. Фортова В. Е. и др. Черноголовка. ИПХФ РАН. 2003. С. 24.
8. Воронина Э. И., Чартий П. В., Шеманин В. Г. // Физика экстремальных состояний вещества-2005. под ред. Фортова В. Е. и др. Черноголовка. ИПХФ РАН. 2005. С. 37.
9. Voronina E. I., Efremov V. P., Privalov V. E., Shemanin V. G. Laser ablation thresholds of polymer materials studies // Proc. SPIE. 2003. V. 5381. P. 178–185.
10. Воронина Э. И., Ефремов В. П., Привалов В. Е., Шеманин В. Г. Исследование лазерного абляционного нагружения полимеров // Письма в ЖТФ. 2008. Т. 34. В. 23. С. 59.
11. Efremov V. P., Privalov V. E., Skripov P. V., Charty P. V., Shemanin V. G. Polymer materials laser destruction thresholds studies // Proc. SPIE. 2004. V. 5447. P. 234–241.
12. A. B. Atkarskaya, O. V. Mkrtychev, V. E. Privalov, V. G. Shemanin. Laser ablation of the glass nanocomposites studies // Optical Memory and Neural Networks (Information Optics). V.23, Issue 4, October 2014. ISSN: 1060-992X (Print) 1934-7898 (Online). p. 265–270.
13. Laktushkin G. V., Shemanin V. G. Surface quality laser testing system // Proc. SPIE. 1998. V. 3687. P. 53–55.
14. Мкртычев О. В. Методика определения лучевой прочности материалов при однократном облучении. Лазеры. Измерения. Информация. 2021. Т. 1. № 1(1). С. 7–13. [Электронный ресурс] URL: <https://lasers-measurement-information.ru/ojs/index.php/laser/article/view/3> DOI: 10.51639/27130568_2021_1_1_7.
15. Мкртычев О. В., Шеманин В. Г. Способ определения оптической прочности материалов при однократном облучении. Патент на изобретение RU 2694073 С1, 09.07.2019. Заявка № 2018110756 от 26.03.2018.
16. Привалов В. Е., Шеманин В. Г., Мкртычев О. В. Метод оценки оптической прочности облучаемой поверхности при лазерной абляции. Измерительная техника. 2018. № 7. С. 34–37. [Электронный ресурс] URL: http://izmt.ru/note.php?type=TAMI_izmt¬es_id=281
17. Чунгурова Т. Л., Мкртычев О. В. Метод определения динамики оптической прочности материалов. Лазеры. Измерения. Информация. 2021. Т. 1. № 2(2). С. 26–29. [Электронный ресурс] URL: <https://lasers-measurement-information.ru/ojs/index.php/laser/article/view/12> DOI: 10.51639/27130568_2021_1_2_26.
18. Чербачи Ю. В., Мкртычев О. В. Сравнение значений пробойной энергии при различных длительностях лазерного импульса. Лазеры. Измерения. Информация. 2021. Т. 1. № 2(2). С. 30–32. [Электронный ресурс] URL: <https://lasers-measurement-information.ru/ojs/index.php/laser/article/view/13> DOI:10.51639/27130568_2021_1_2_30.

Statistical modeling of laser ablative destruction

Cherbachi Yu. V., Mkrtychev O. V.

*353919, Russia, Novorossiysk Novorossiysk, Myskhakskoe shosse 75
Branch of Belgorod V G Shukhov State Technology University*

An important characteristic of optical materials is the strength of the material when exposed to radiation on the surface of such a material. Three types of radiation resistance of optical materials are considered: thermoelastic cracking, destruction due to heating of foreign inclusions, and breakdown in the field of a light wave (self-focusing phenomenon). In this article, using the Weibull–Gnedenko model and some radiation parameters, for example, knowing the area of action of a laser beam during laser destruction, it is possible to determine the concentration of defects and calculate the probability of destruction, thus determining the optical strength of samples with a single irradiation.

Keywords: Weibull–Gnedenko model, sample reliability, optical strength.